

AD e DA

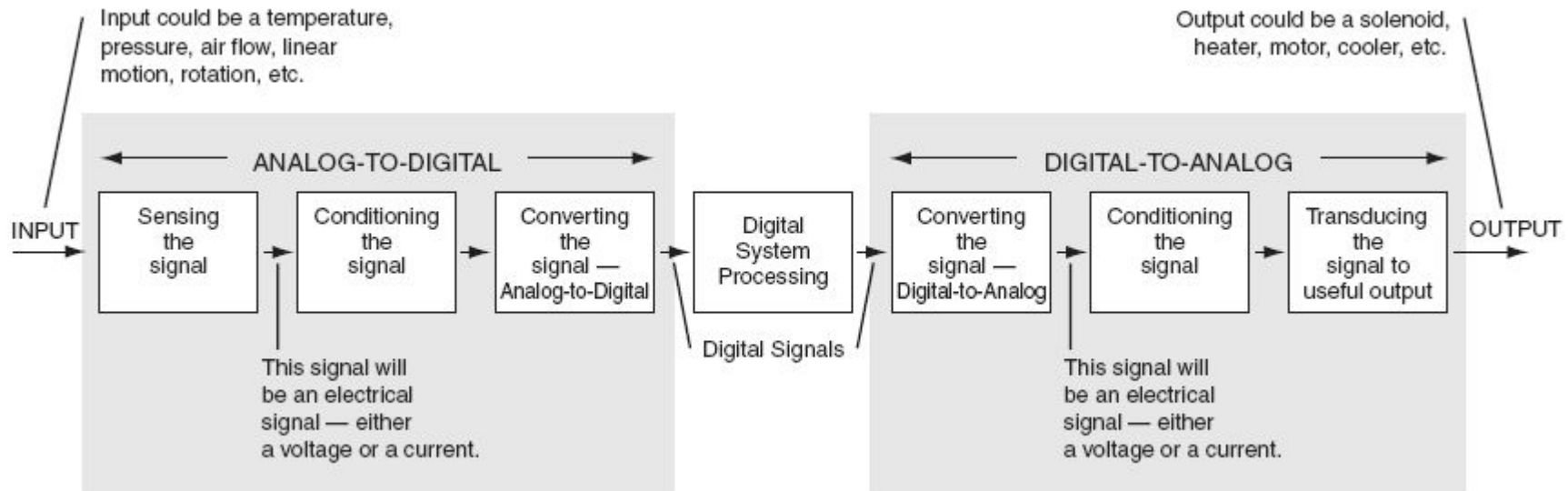
Conversão de Sinais

Aliasing e Reconstrução de Sinais

Daniel Varela Magalhães

Amostrar e Reconstruir?

- Armazenagem, transmissão, chaveamento, processamento e síntese digital;



Por que preocupar-se?

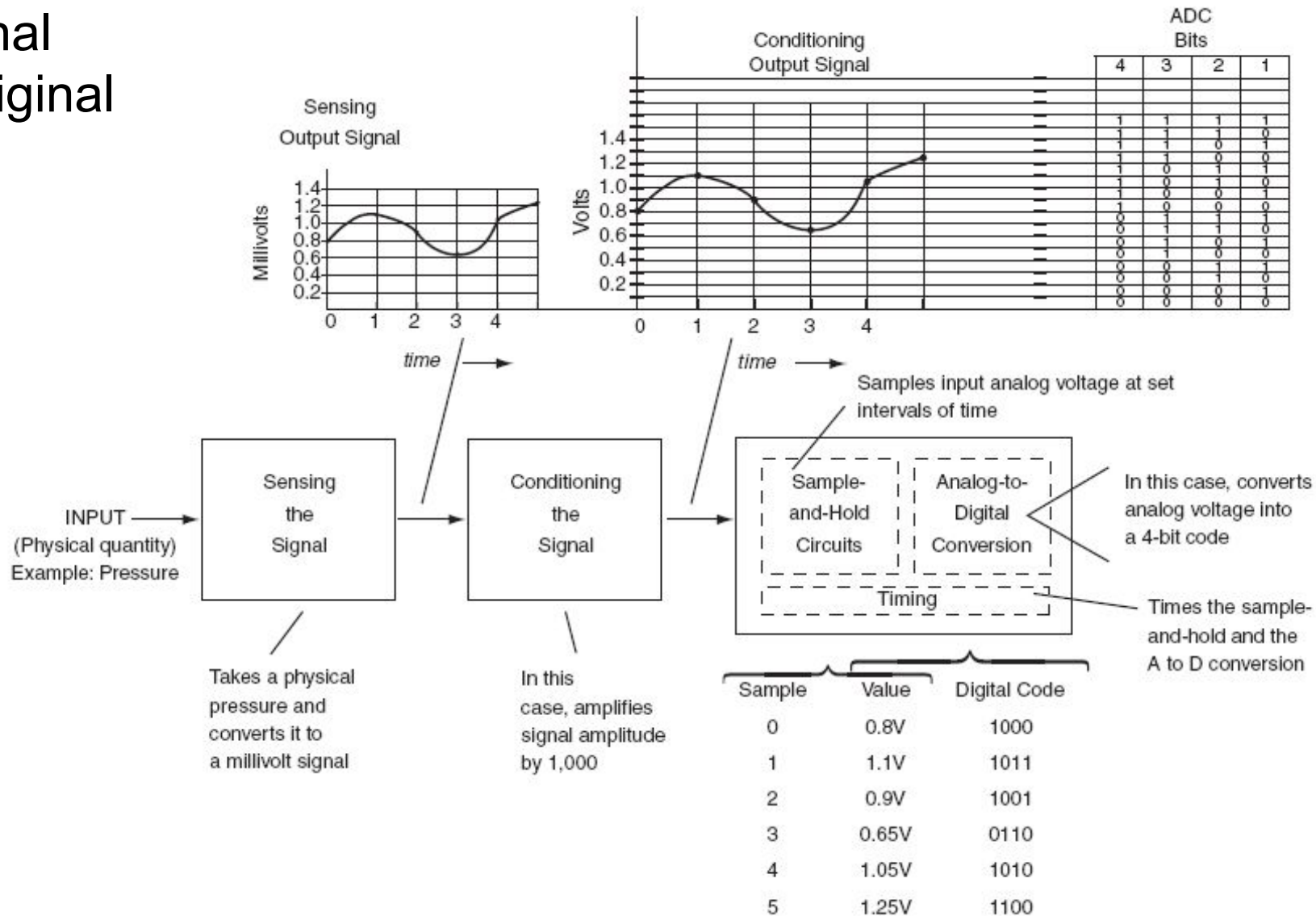
- Placas de aquisição de dados mais acessíveis;
- Conversores rápidos e menos custosos;
- Suavização em programas de visualização;

Por outro lado...

- Grande expansão de uC de baixo custo com AD's menos poderosos (...inos ou mesmo outros);
- Velocidade implica, normalmente, em maior consumo de energia;
- Demandas de IoT;

Como um sinal analógico é visto pelo AD

Sinal Original



Conversão para Sinal Digital

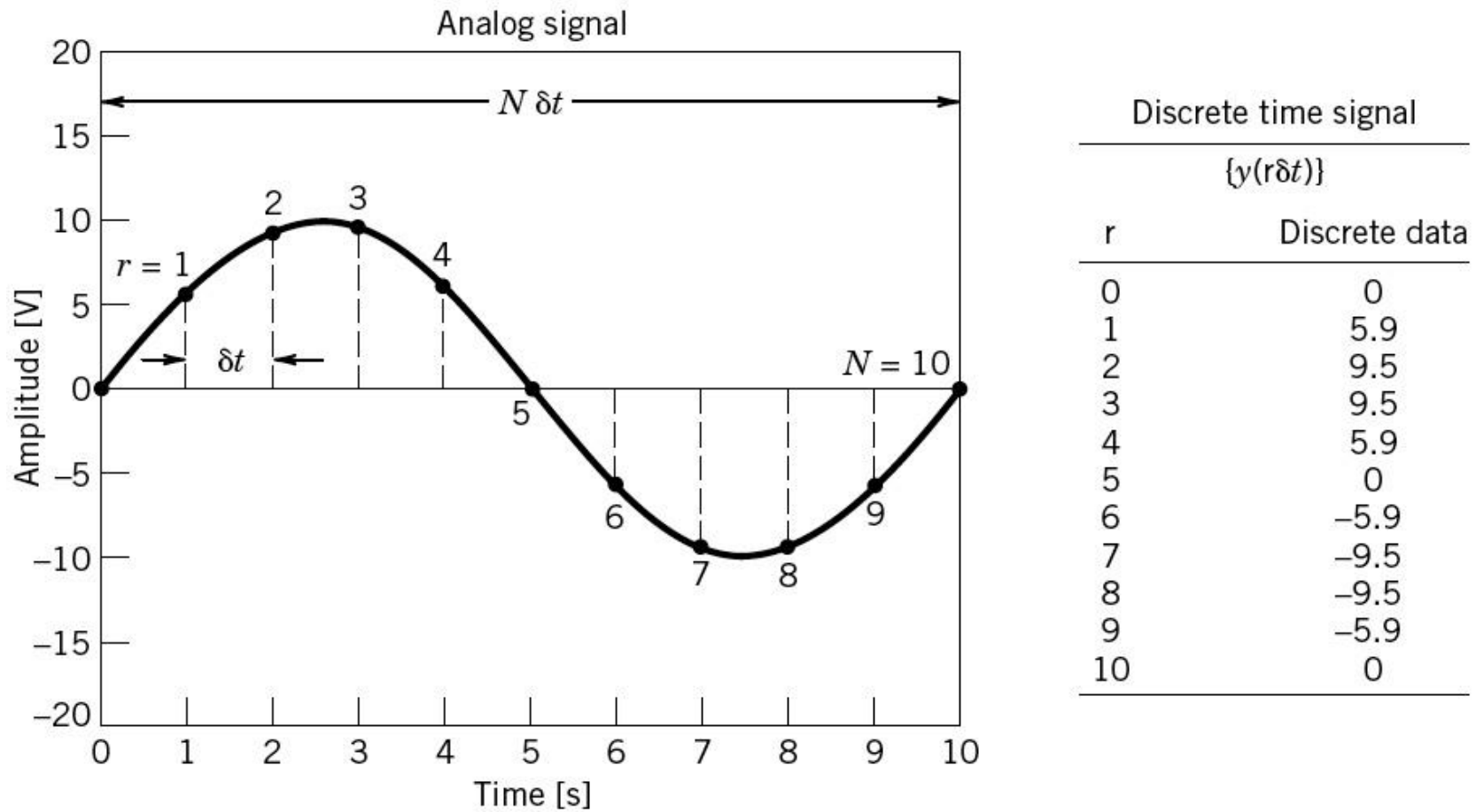
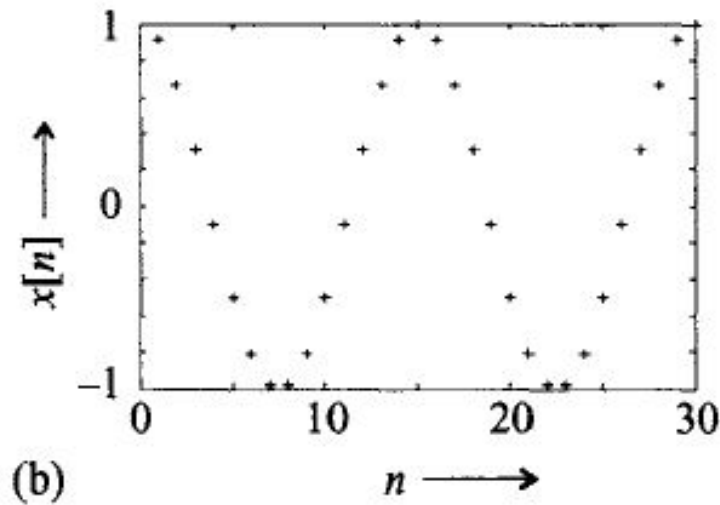
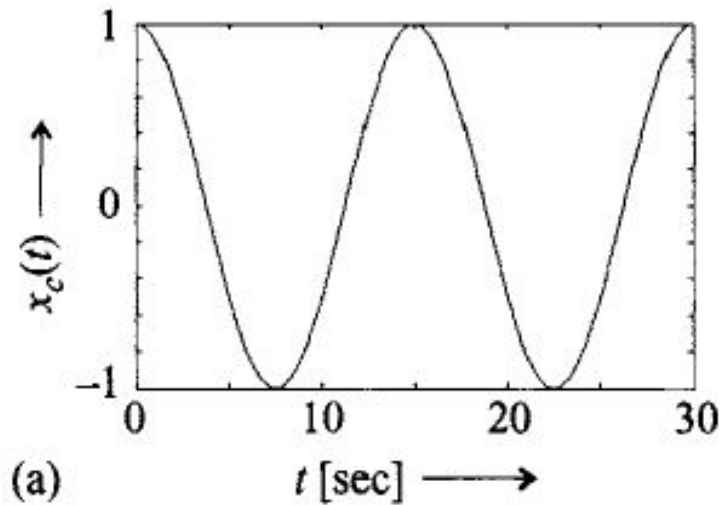


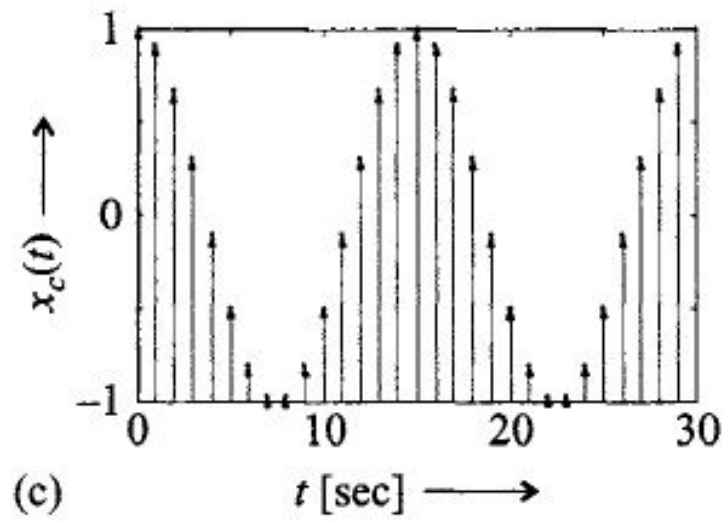
Figure 7.1 Analog and discrete representations of a time-varying signal.

Conversão para Sinal Digital

Formas de representar matematicamente após a amostragem

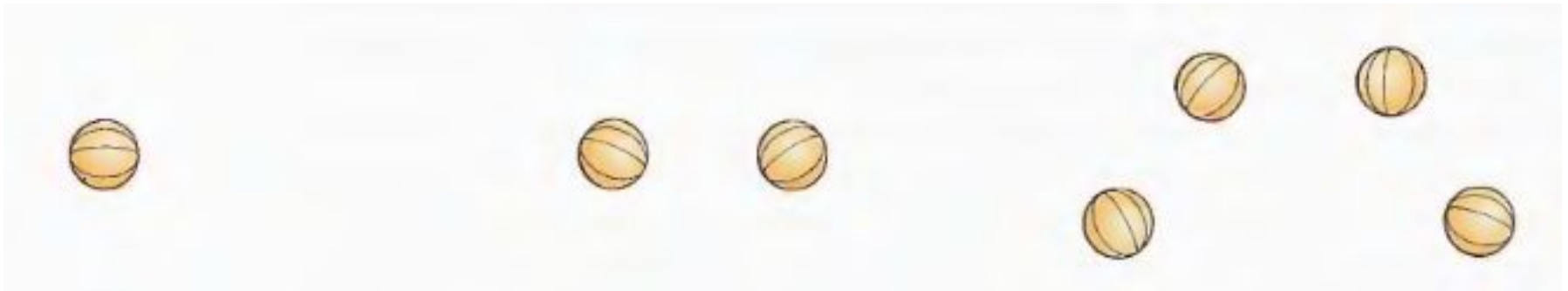


$$x[n] = x(nT), \quad n \text{ integer}$$



$$x_p(t) = \sum_{n=-\infty}^{+\infty} x(nT) \delta(t - nT)$$

Diferentes tempos de amostragem para um mesmo sinal de entrada



Diferentes tempos de amostragem para um mesmo sinal de entrada

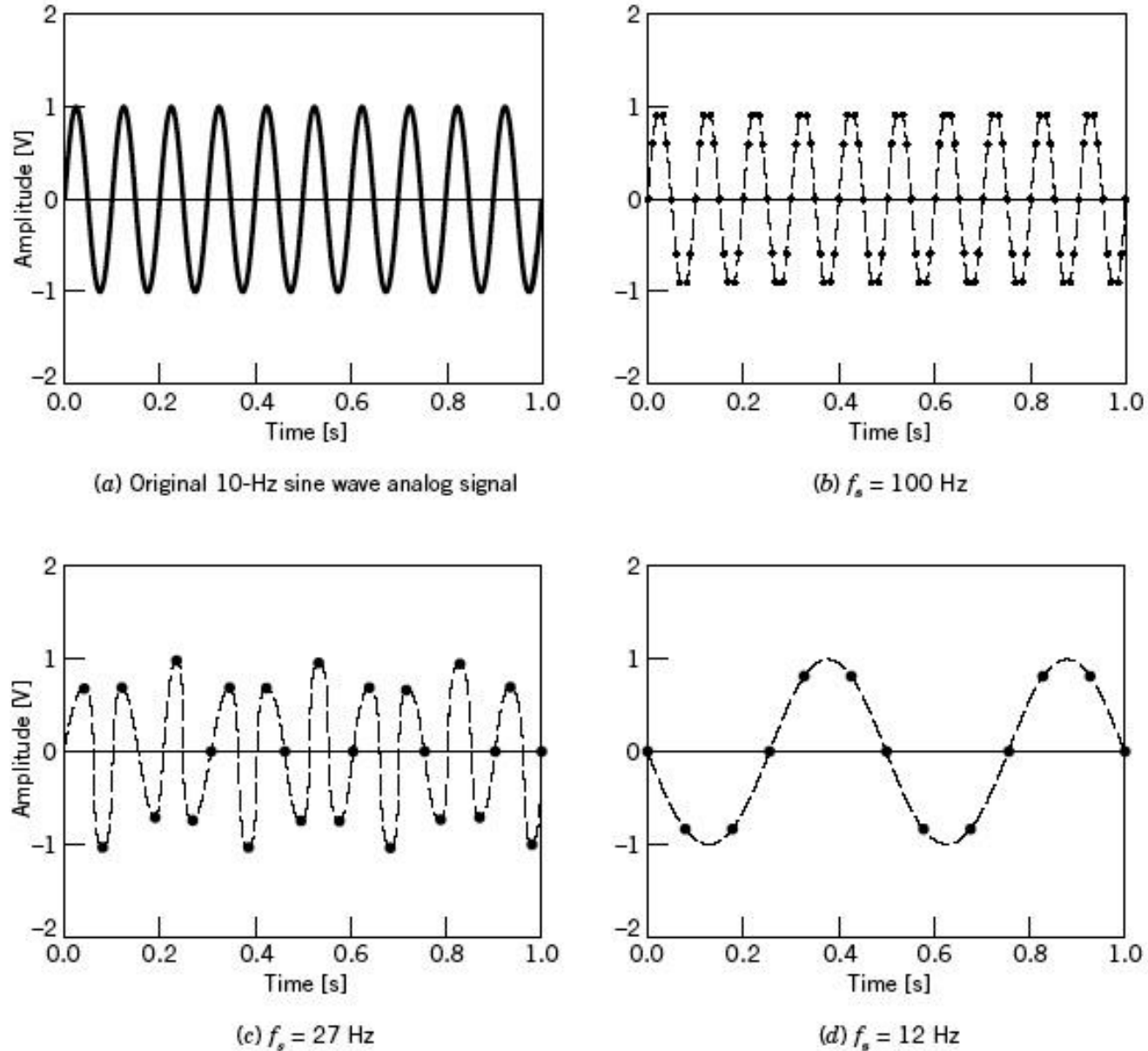


Figure 7.2 The effect of sample rate on signal frequency and amplitude interpretation.

Diferentes tempos de amostragem para um mesmo sinal de

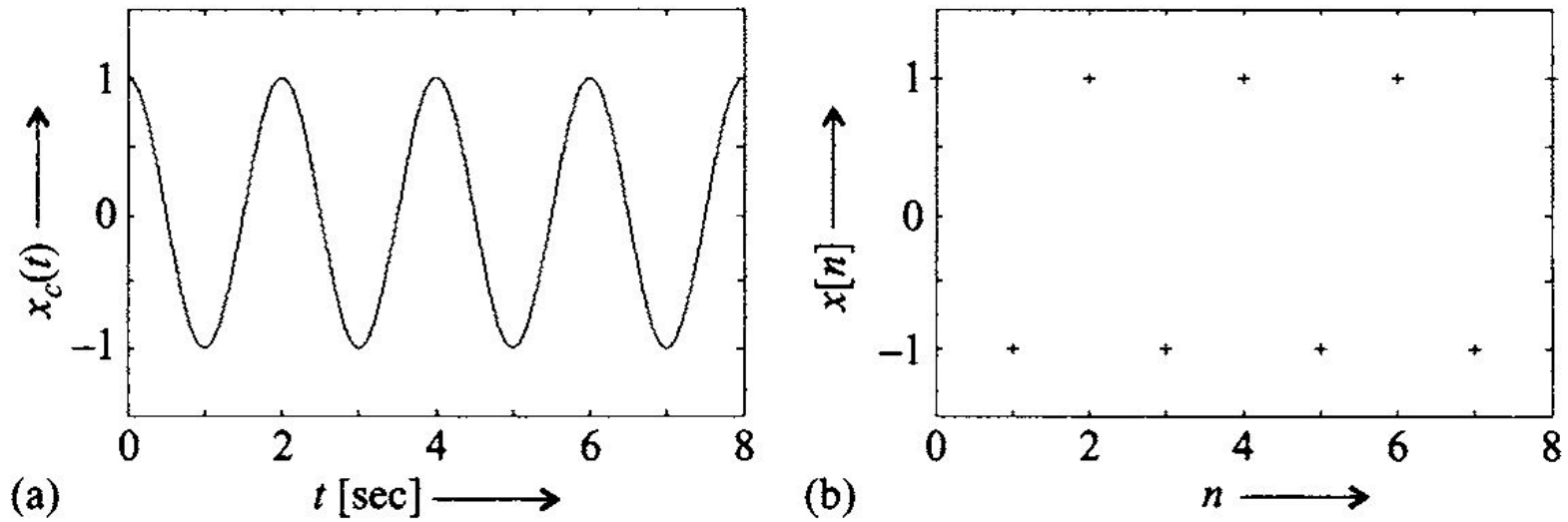
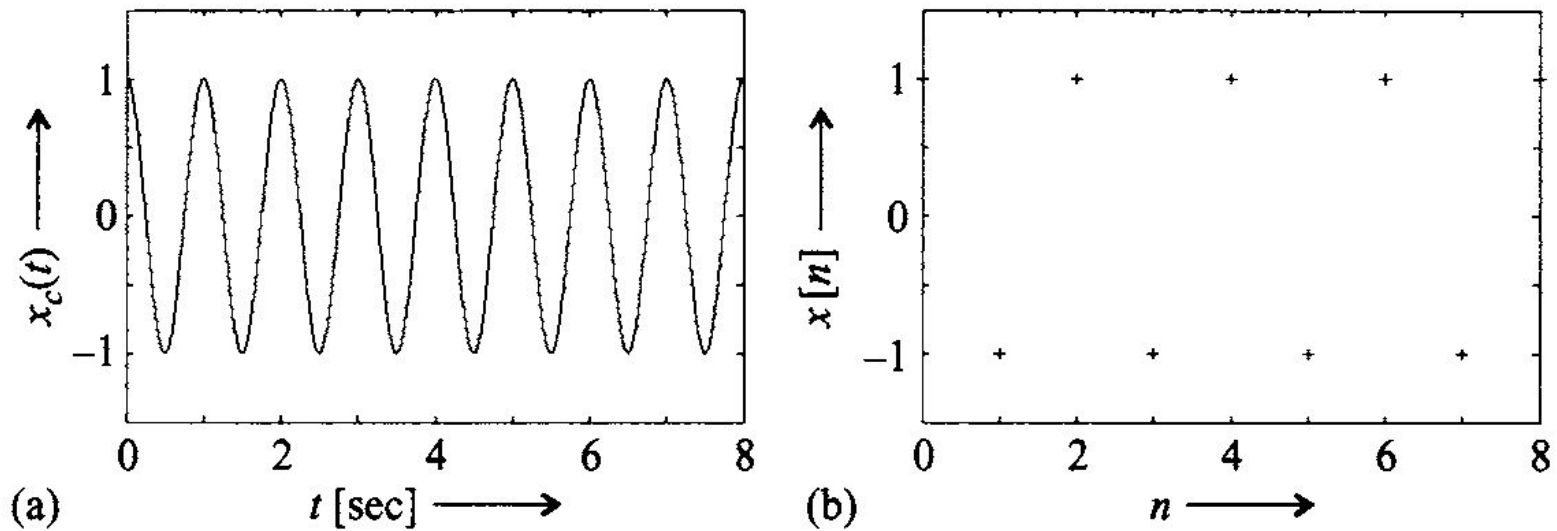


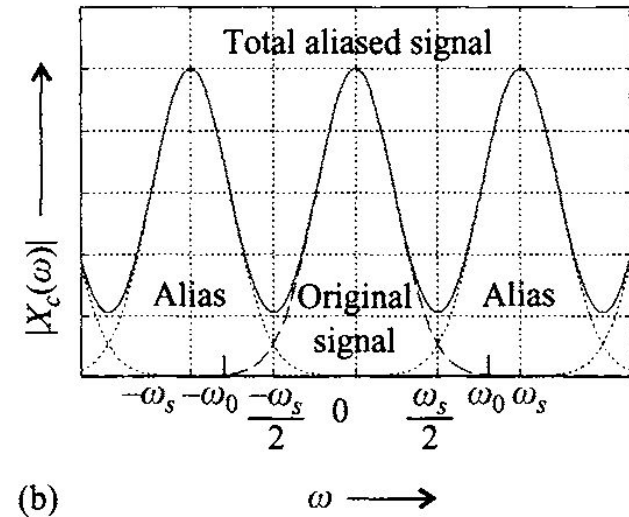
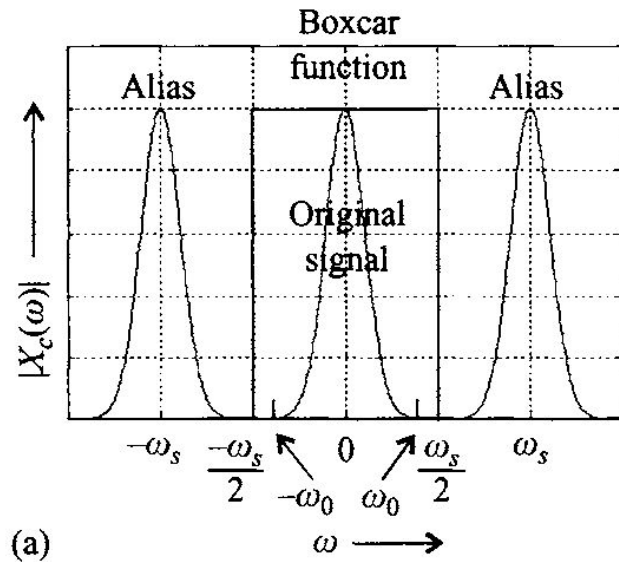
Figure 5.3 (a) $x_c(t) = \cos \pi t$; (b) sampled signal with $\Delta t = 1$



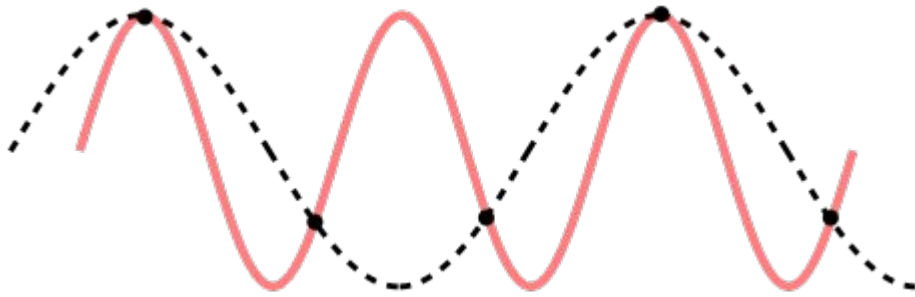
Definindo uma Taxa de Amostragem

Critério de Nyquist

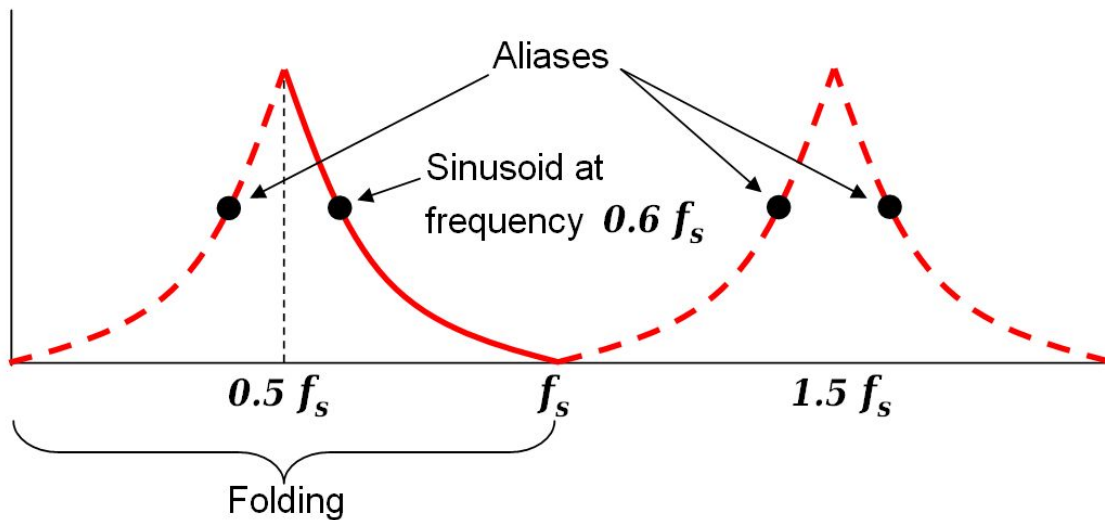
$$f_{\text{sampl}} \geq 2f_{\text{cut}}$$



Cuidados com Aliasing



$$f_{\text{alias}}(N) \stackrel{\text{def}}{=} |f - Nf_s|,$$



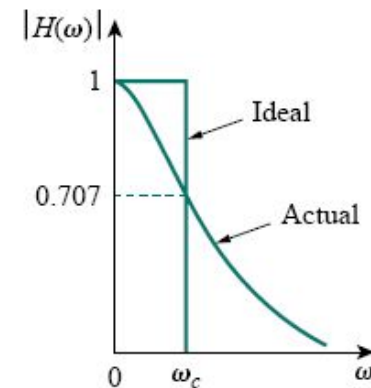
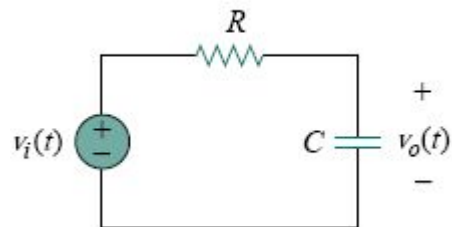
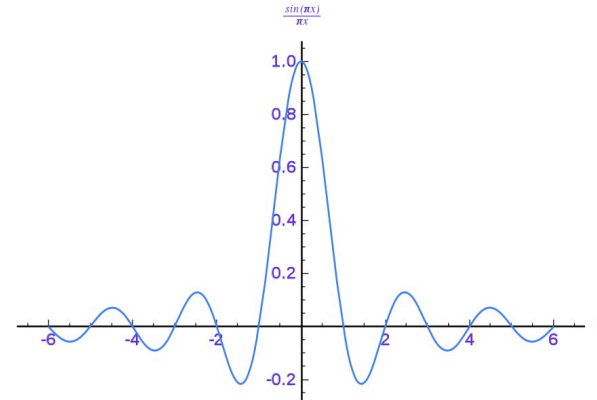
Evitando “Falsos” Sinais

Sobre-amostragem

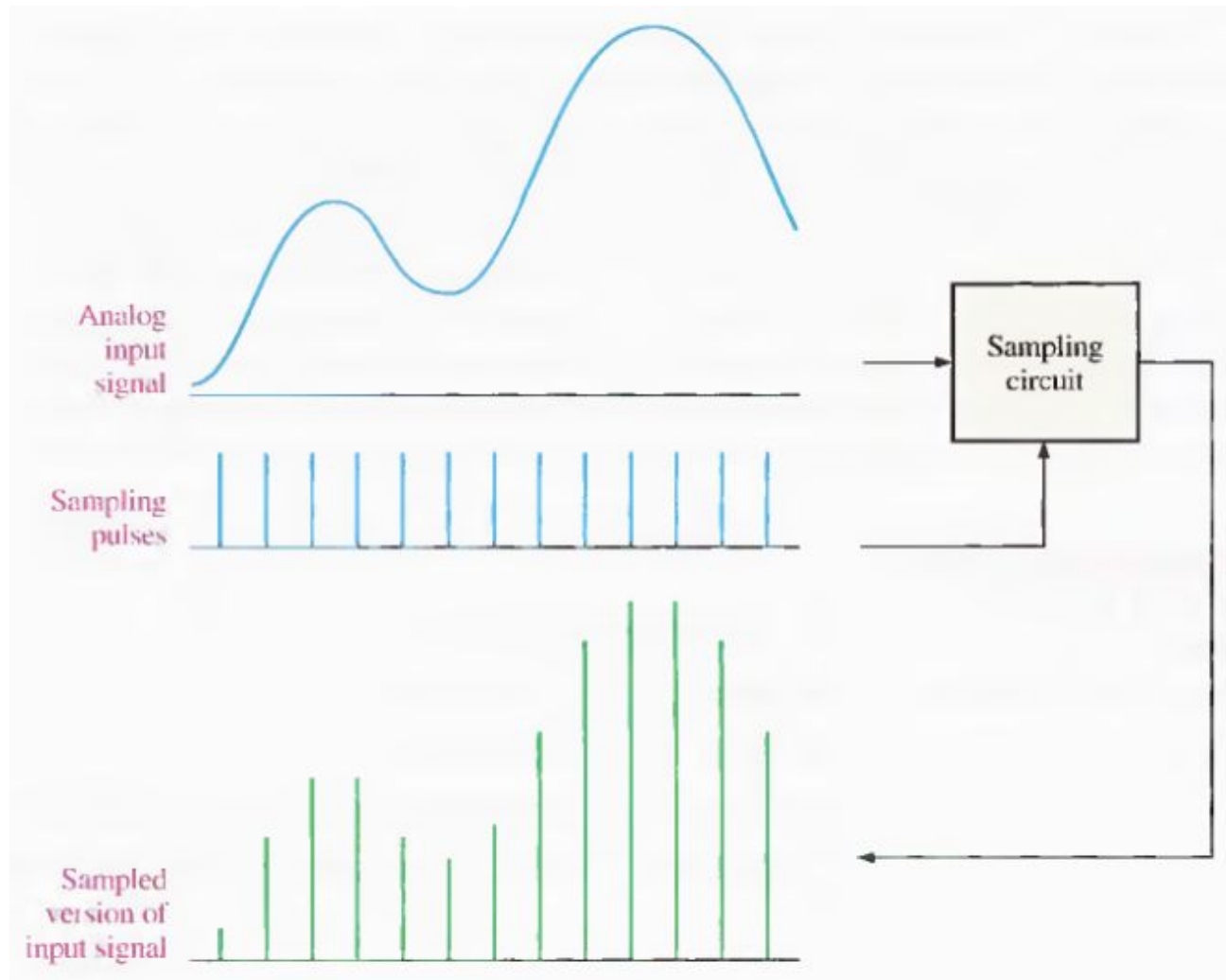
Filtros anti-aliasing

Tratamento com filtros reais

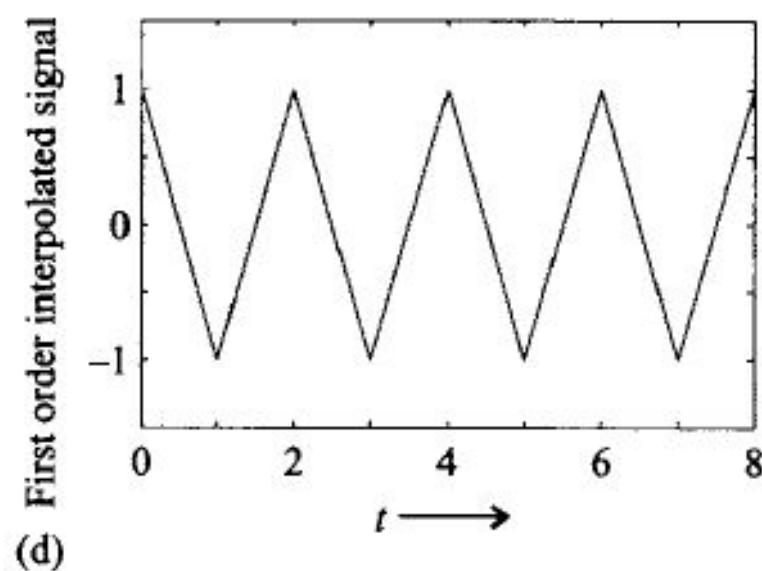
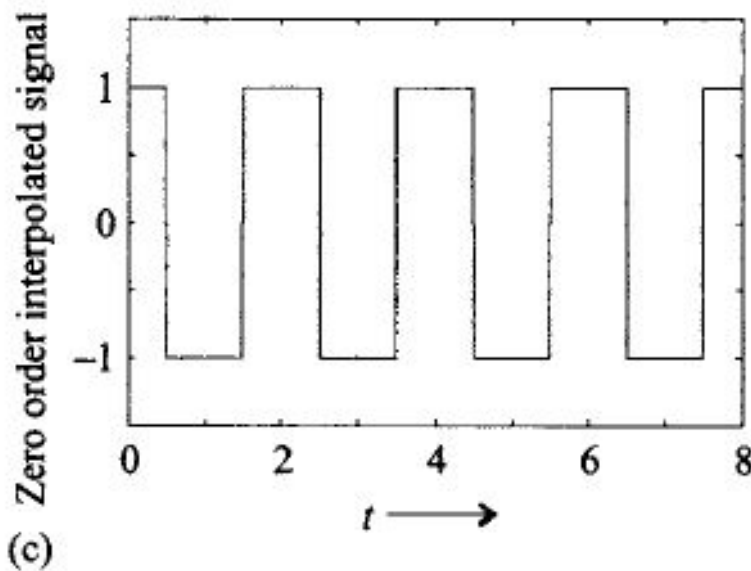
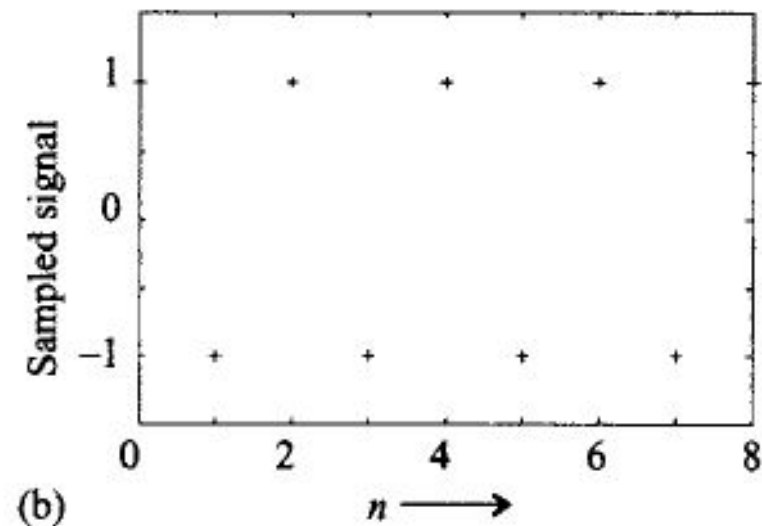
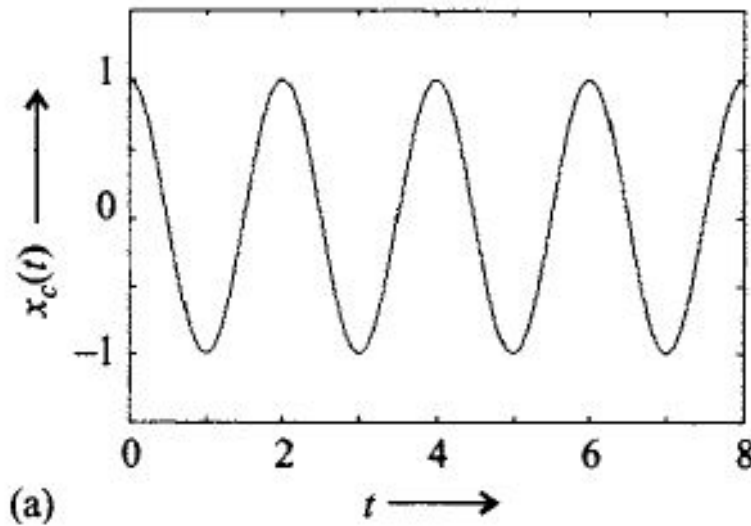
Custo-benefício para ordem dos filtros



“Cara” do sinal amostrado



Maneiras de Visualizar o Sinal Interpolação



Tática de Reconstrução

$$X(f) = H(f) \cdot X_s(f),$$

$$H(f) \stackrel{\text{def}}{=} \begin{cases} 1 & |f| < B \\ 0 & |f| > f_s - B. \end{cases}$$

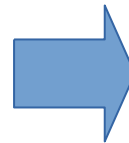
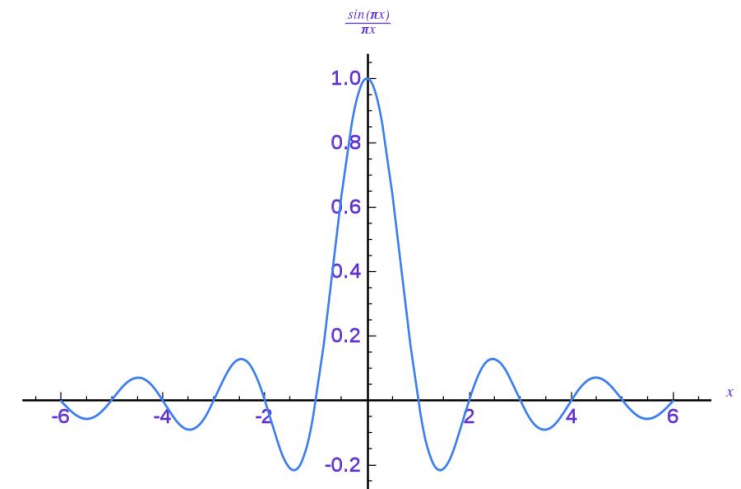
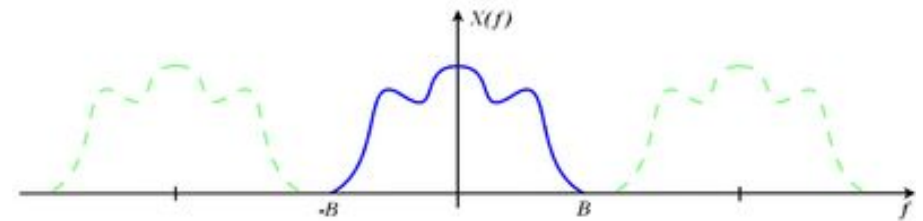
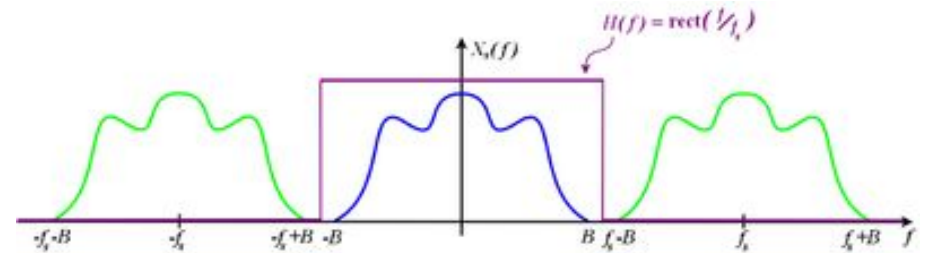
$$H(f) = \text{rect}\left(\frac{f}{f_s}\right) = \begin{cases} 1 & |f| < \frac{f_s}{2} \\ 0 & |f| > \frac{f_s}{2}, \end{cases}$$

$$X(f) = \text{rect}\left(\frac{f}{f_s}\right) \cdot X_s(f)$$

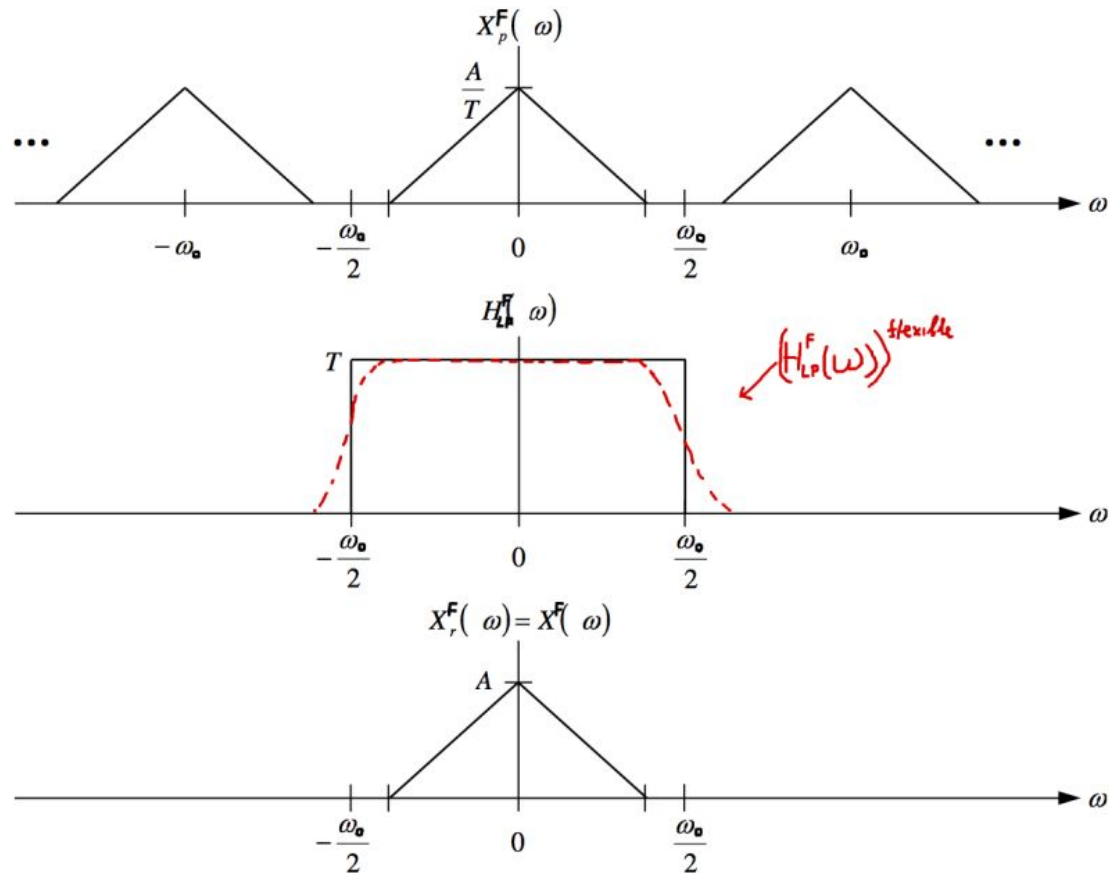
$$= \sum_{n=-\infty}^{\infty} x(nT) \cdot T \cdot \underbrace{\text{rect}(Tf) \cdot e^{-i2\pi nTf}}_{\mathcal{F}\left\{\text{sinc}\left(\frac{t-nT}{T}\right)\right\}}$$

$$x(t) = \sum_{n=-\infty}^{\infty} x(nT) \cdot \text{sinc}\left(\frac{t-nT}{T}\right),$$

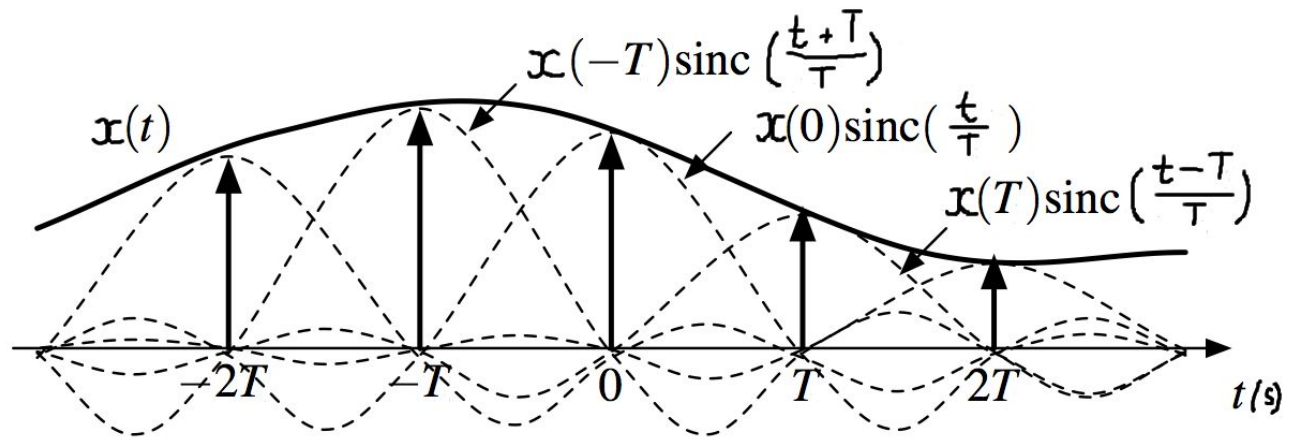
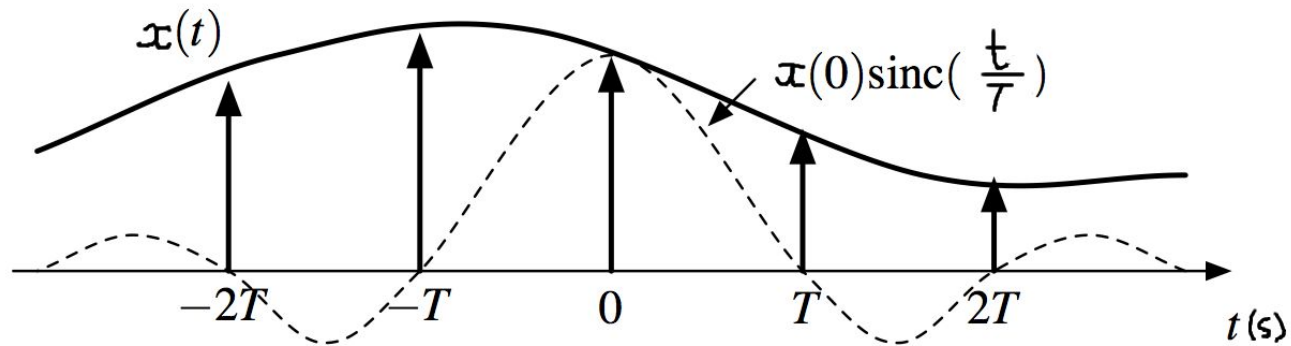
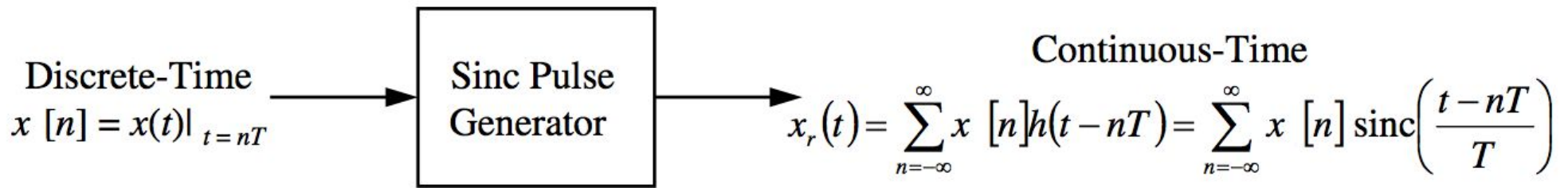
Whittaker–Shannon interpolation formula



Tática de Reconstrução

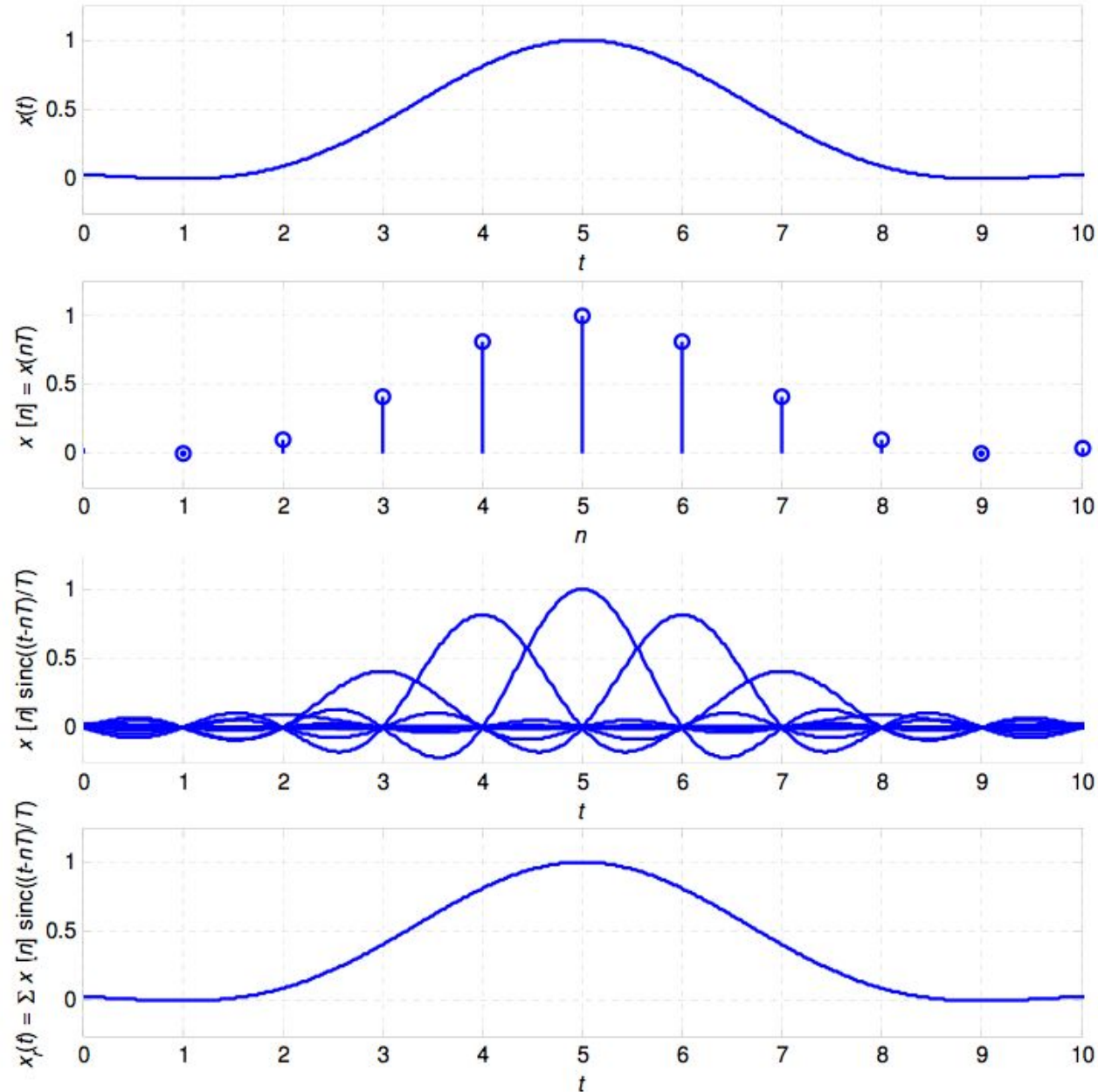


Definindo um Reconstrutor



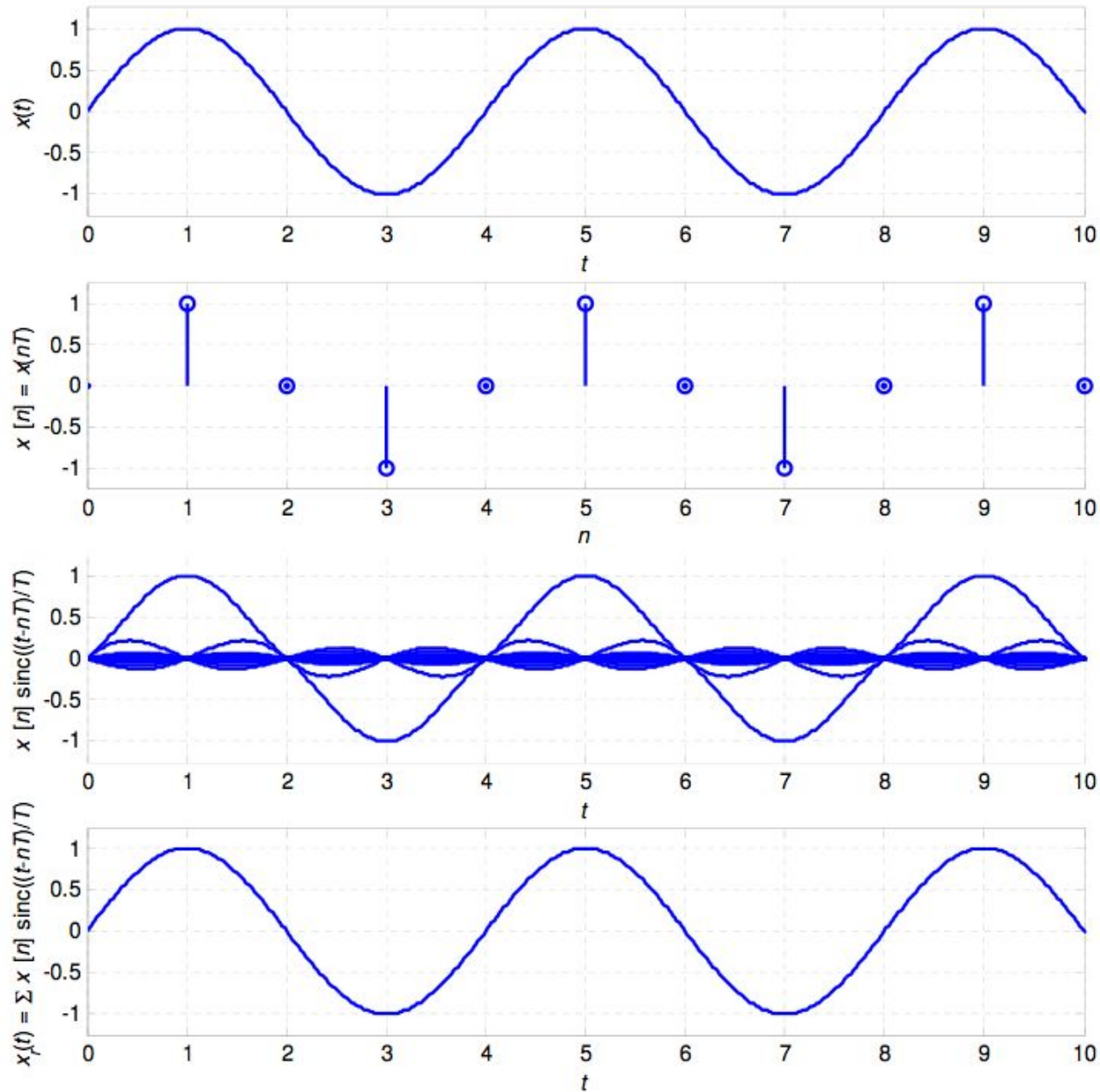
Reconstruindo Sinais

$$x(t) = \text{sinc}^2\left(\frac{1}{4}(t-5)\right) \quad \left(\frac{\omega_m}{2\pi} = \frac{1}{4} \text{ Hz}\right) \quad T=1 \quad \left(\frac{\omega_v}{2\pi} = 1 \text{ Hz}\right) \quad \text{Ideal Bandlimited Reconstruction}$$



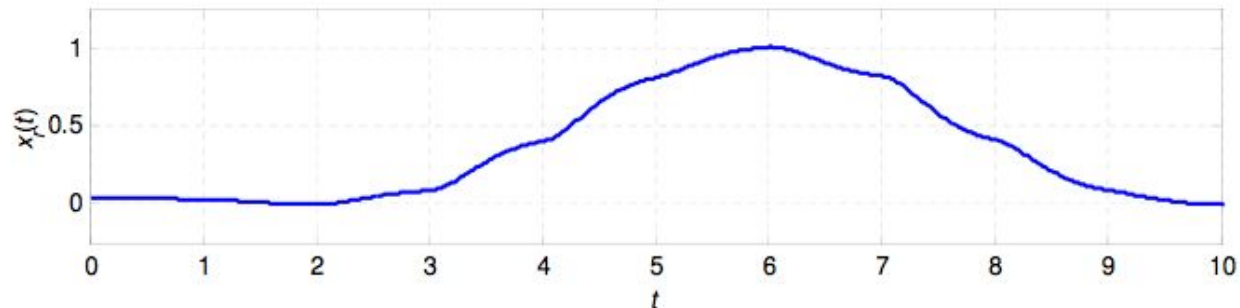
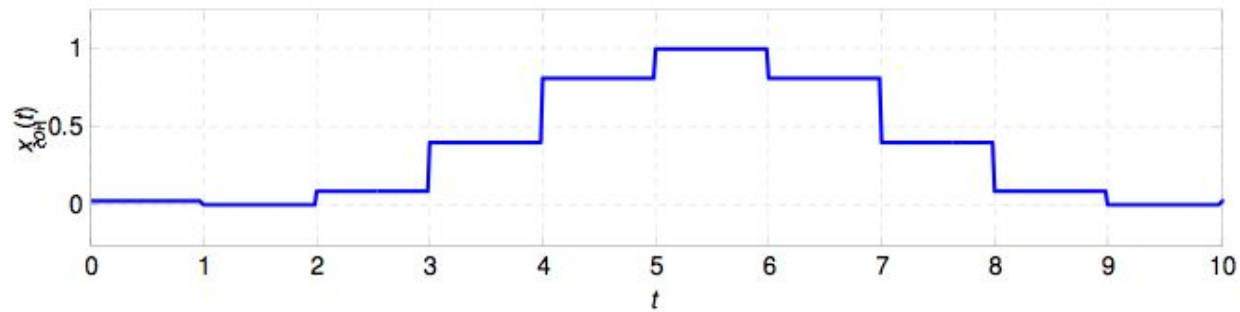
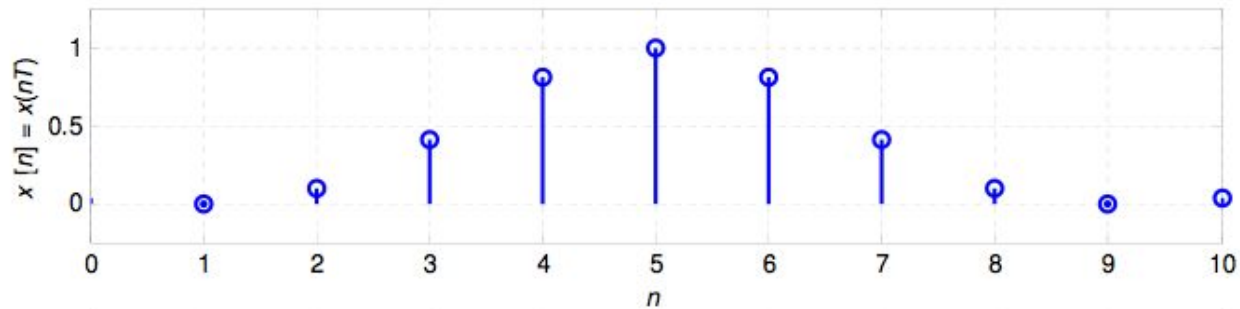
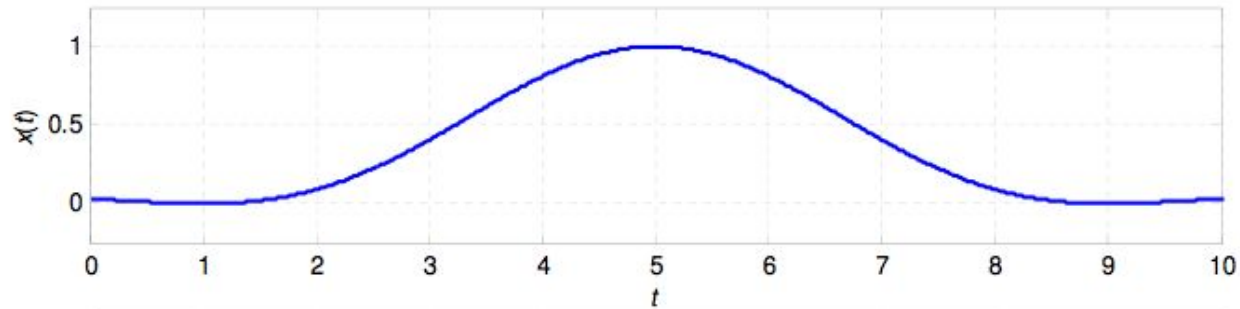
Reconstruindo Sinais

$$x(t) = \sin\left(\frac{\pi}{2}t\right) \quad \left(\frac{\omega_m}{2\pi} = \frac{1}{4} \text{ Hz}\right) \quad T = 1 \quad \left(\frac{\omega_a}{2\pi} = 1 \text{ Hz}\right) \quad \text{Ideal Bandlimited Reconstruction}$$



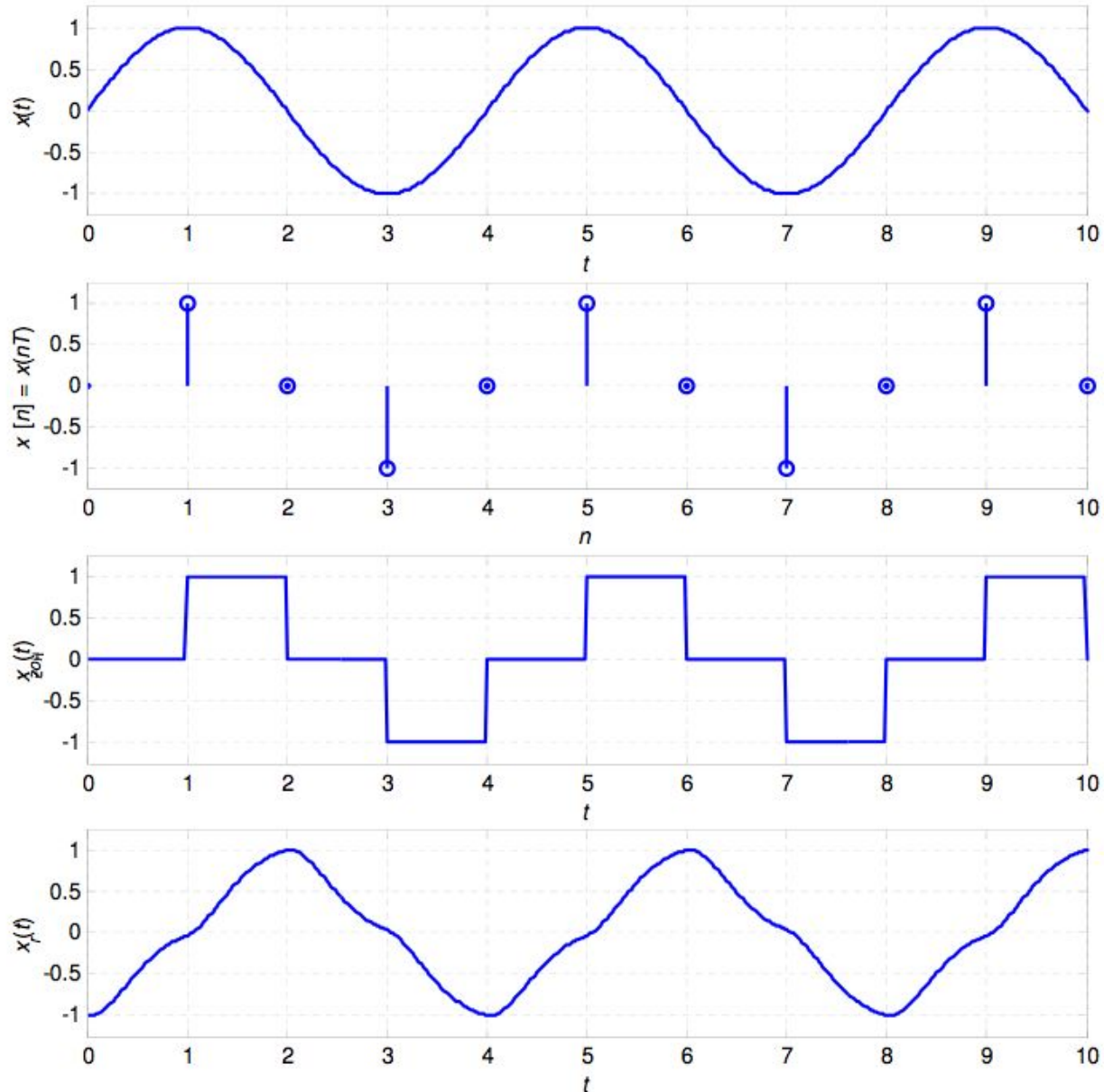
Reconstruindo Sinais

$$x(t) = \text{sinc}^2\left(\frac{1}{4}(t-5)\right) \quad \left(\frac{\omega_m}{2\pi} = \frac{1}{4} \text{ Hz}\right) \quad T = 1 \quad \left(\frac{\omega_a}{2\pi} = 1 \text{ Hz}\right) \quad \text{Zero-Order Hold, 2nd-Order Butterworth LPF} \quad \frac{\omega_c}{2\pi} = \frac{1}{2} \text{ Hz}$$



Reconstruindo Sinais

$$x(t) = \sin\left(\frac{\pi}{2}t\right) \quad \left(\frac{\omega_m}{2\pi} = \frac{1}{4} \text{ Hz}\right) \quad T = 1 \quad \left(\frac{\omega_n}{2\pi} = 1 \text{ Hz}\right) \quad \text{Zero-Order Hold, 2nd-Order Butterworth LPF} \quad \frac{\omega_c}{2\pi} = \frac{1}{2} \text{ Hz}$$

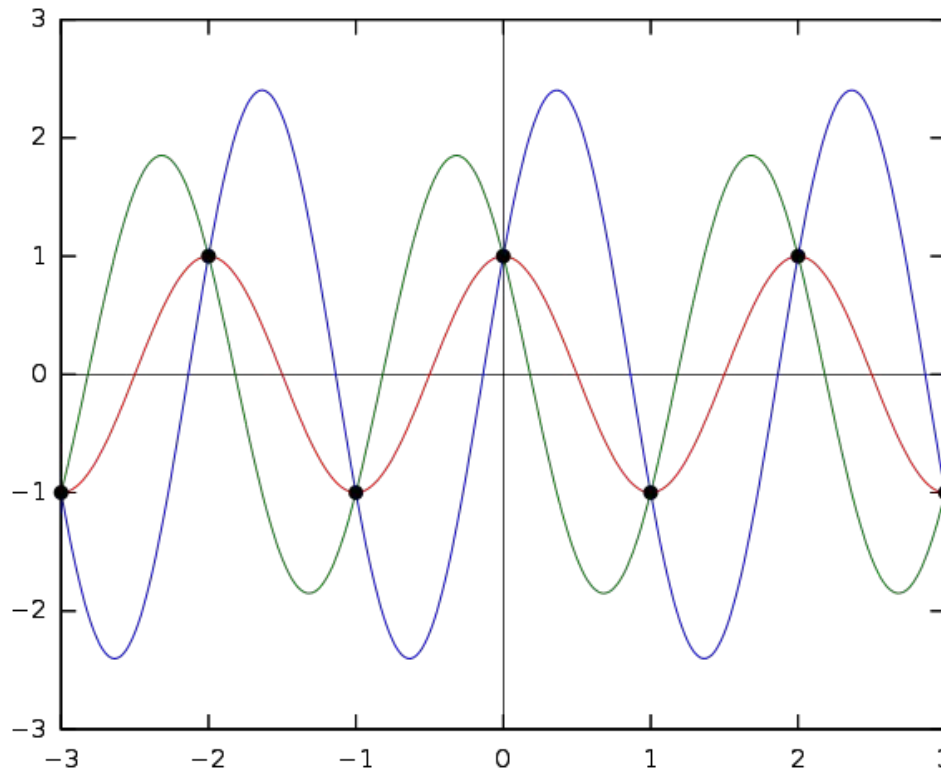


Considerações Aliasing e Reconstrução

Adequações de condições ideais e reais

Condição limite do Critério de Nyquist

Custo-benefício de processamento dos filtros de interpolação



Filtro anti-aliasing e a reconstrução

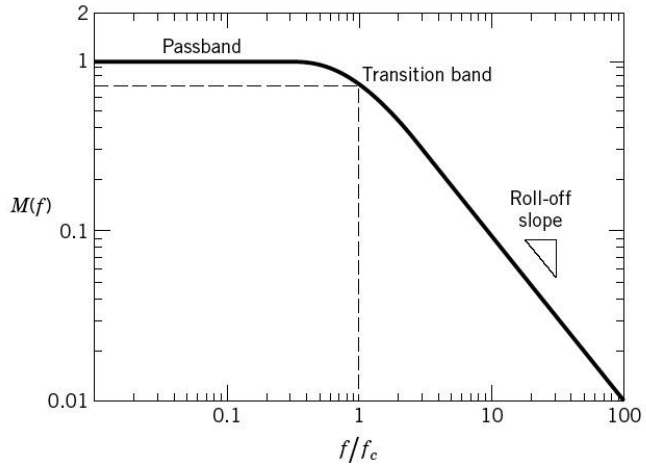
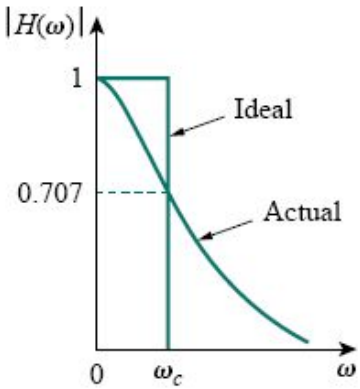
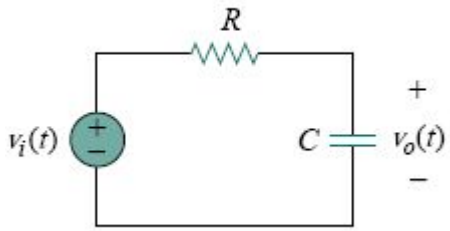


Figure 6.28 Magnitude ratio for a low-pass Butterworth filter.

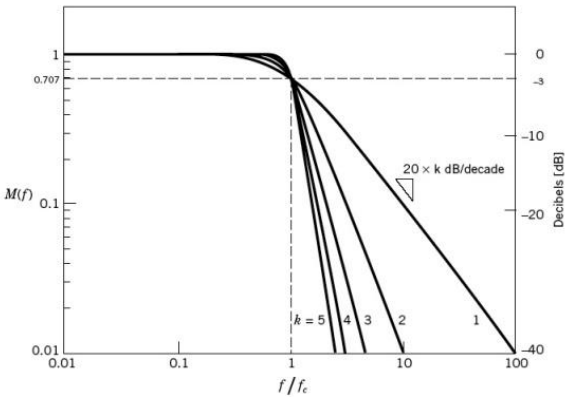
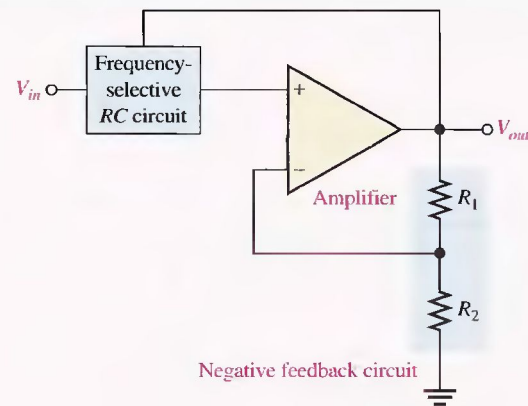


Figure 6.31 Magnitude characteristics for Butterworth low-pass filters of various stages.

Filtro anti-aliasing e a reconstrução

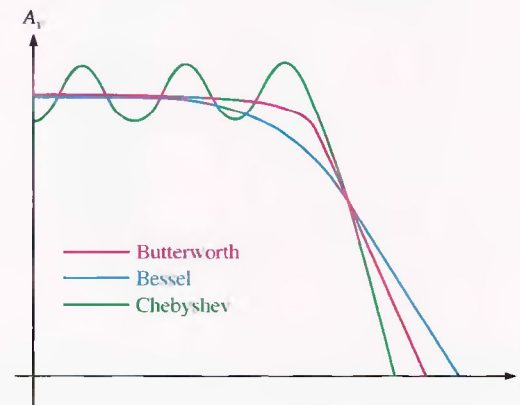
► **FIGURE 15-6**

General diagram of an active filter.



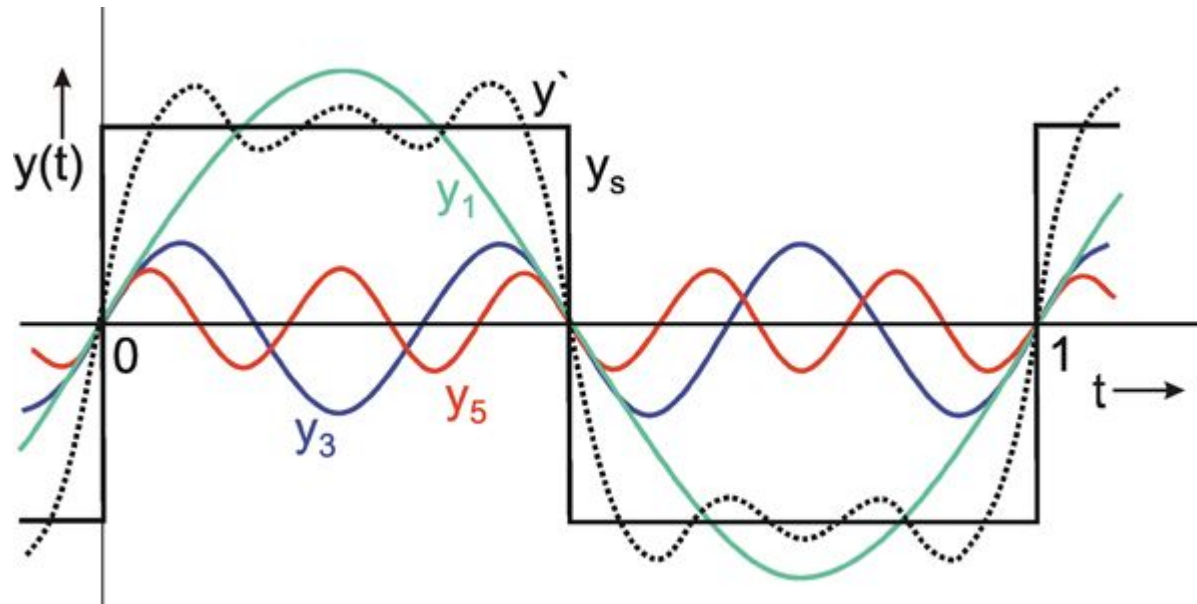
◀ **FIGURE 15-5**

Comparative plots of three types of filter response characteristics.



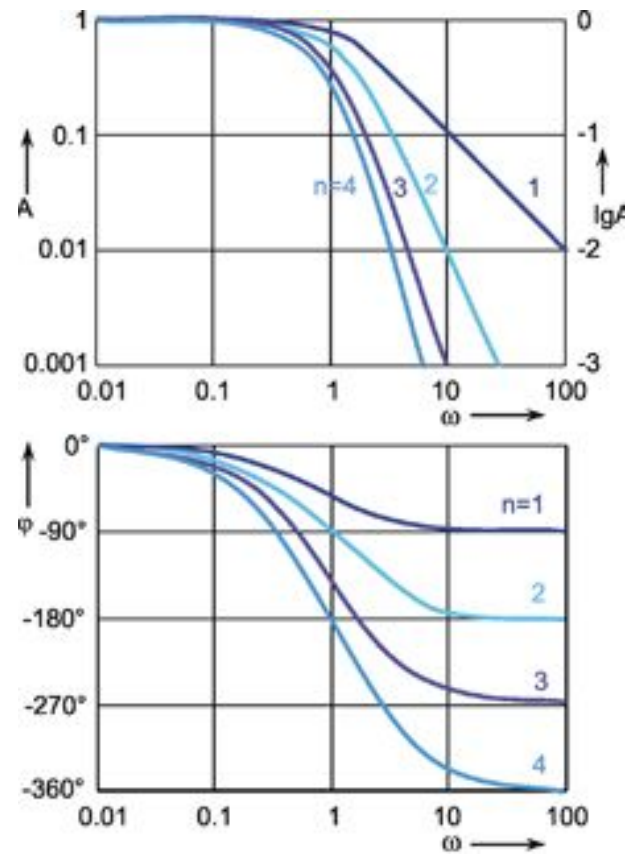
$$y(t) = a_0 + a_1 \sin(\omega t + \varphi_1) + a_2 \sin(2\omega t + \varphi_2) + \dots + a_k \sin(k\omega t + \varphi_k) + \dots$$

Filtro anti-aliasing e a reconstrução

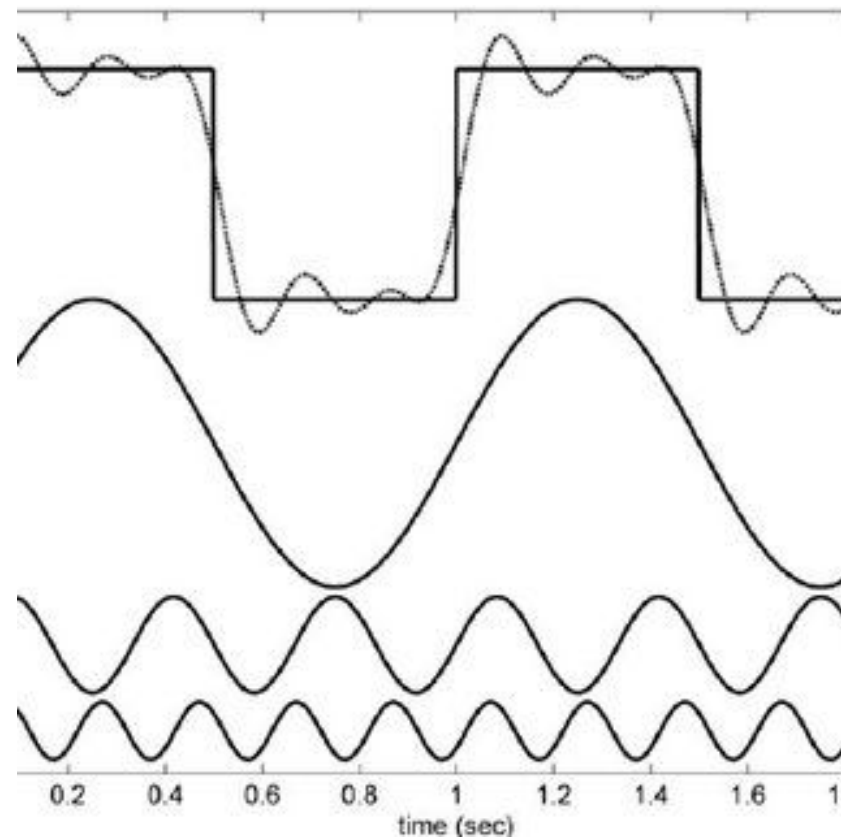


$$\begin{aligned}x_{\text{square}}(t) &= \frac{4}{\pi} \sum_{k=1}^{\infty} \frac{\sin(2\pi(2k-1)ft)}{(2k-1)} \\ &= \frac{4}{\pi} \left(\sin(2\pi ft) + \frac{1}{3} \sin(6\pi ft) + \frac{1}{5} \sin(10\pi ft) + \dots \right)\end{aligned}$$

Filtro anti-aliasing e a reconstrução



Filtro anti-aliasing e a reconstrução



Bibliografia

M. J. Korsten, W. Otthius, F. van der Heijden; Measurement Science for Engineers; Elsevier Science & Technology Books; 2004; ISBN: 1903996589

Signals and systems, by A.V. Oppenheim, A.S. Willsky, and I.T. Young. Prentice Hall, Englewood Cliffs, New Jersey, 1983

https://en.wikipedia.org/wiki/Nyquist%E2%80%93Shannon_sampling_theorem